

# Teoría de la Información Cuántica

Práctica 5 - Año 2020

BEAUCAMP, Jean Yves

## 1. Transformada de Fourier Cuántica

1. Consideremos la transformada de Fourier discreta de un conjunto de  $N$  números ( $f_j \in \mathbb{C}$ ,  $j = 0, 1, \dots, N-1$ ), dada por

$$F_k = \frac{1}{\sqrt{N}} \sum_{j=0}^{N-1} f_j e^{-i\frac{2\pi}{N}jk}.$$

- a) La transformada de Fourier discreta inversa se encuentra determinada por

$$f_j = \frac{1}{\sqrt{N}} \sum_{k=0}^{N-1} F_k e^{i\frac{2\pi}{N}jk}, \quad j = 0, 1, \dots, N-1,$$

satisfaciendo la identidad  $\mathcal{F}[\mathcal{F}^{-1}[F_{k'}]]_k = F_k$ :

$$\begin{aligned} \mathcal{F}[f_j]_k &= \frac{1}{\sqrt{N}} \sum_{j=0}^{N-1} \left[ \frac{1}{\sqrt{N}} \sum_{k'=0}^{N-1} F_{k'} e^{i\frac{2\pi}{N}jk'} \right] e^{-i\frac{2\pi}{N}jk} \\ &= \frac{1}{N} \sum_{j=0}^{N-1} \sum_{k'=0}^{N-1} F_{k'} e^{i\frac{2\pi}{N}jk'} e^{-i\frac{2\pi}{N}jk} \\ &= \frac{1}{N} \sum_{k'=0}^{N-1} F_{k'} \sum_{j=0}^{N-1} e^{-i\frac{2\pi}{N}j(k-k')}. \end{aligned} \tag{1}$$

Luego, si  $k = k'$ , entonces

$$\sum_{j=0}^{N-1} e^{i\frac{2\pi}{N}j0} = \sum_{j=0}^{N-1} 1 = N,$$

mientras que para  $k \neq k'$ , como  $k - k' = m \in \mathbb{Z}$ ,

$$\sum_{j=0}^{N-1} e^{i\frac{2\pi}{N}j(k-k')} = \sum_{j=0}^{N-1} \left( e^{i\frac{2m\pi}{N}} \right)^j = \frac{1 - e^{i\frac{2m\pi}{N}N}}{1 - e^{i\frac{2m\pi}{N}}} = \frac{1 - e^{i2m\pi}}{1 - e^{i\frac{2m\pi}{N}}} = \frac{1 - 1}{1 - e^{i\frac{2m\pi}{N}}} = 0.$$

Podemos escribir estos resultados de manera compacta como,

$$\sum_{j=0}^{N-1} e^{i\frac{2\pi}{N}j(k-k')} = N\delta_{kk'},$$

con lo que (1) resulta en

$$\mathcal{F}[f_j]_k = \frac{1}{N} \sum_{k'=0}^{N-1} F_{k'} N\delta_{kk'} = F_k.$$

- b) Si extendemos el conjunto de posibles valores de  $k$  a todo  $k \in \mathbb{Z}$  en la definición de la TF discreta, es fácil ver que

$$F_{k+lN} = \frac{1}{\sqrt{N}} \sum_{j=0}^{N-1} f_j e^{-i\frac{2\pi}{N}j(k+lN)} = \frac{1}{\sqrt{N}} \sum_{j=0}^{N-1} f_j e^{-i\frac{2\pi}{N}jk} e^{-i2\pi jl} = \frac{1}{\sqrt{N}} \sum_{j=0}^{N-1} f_j e^{-i\frac{2\pi}{N}jk} = F_k.$$

- c) Si  $f_j$  es una función periódica con período  $r$ , tal que  $f_{j+r} = f_j$ , con  $r|N$  ( $r$  divisor de  $N$ ), entonces escribiendo a  $f_j$  como la anti-transformada de Fourier de  $F_k$  vemos que

$$\begin{aligned} f_j = f_{j+r} &\iff \frac{1}{N} \sum_{k=0}^{N-1} F_k e^{i\frac{2\pi}{N}jk} = \frac{1}{N} \sum_{k=0}^{N-1} F_k e^{i\frac{2\pi}{N}(j+r)k} \\ &\implies F_k = 0 \forall k = 0, \dots, N-1, \quad \forall e^{i\frac{2\pi}{N}rk}. \end{aligned}$$

El segundo caso se reduce fácilmente a la condición

$$\frac{rk}{N} = m \in \mathbb{Z} \implies k = m \frac{N}{r} \iff \frac{N}{r} | k.$$

Más aún, si  $k = mN/r$ , entonces

$$F_k = \frac{1}{\sqrt{N}} \sum_{j=0}^{N-1} f_j e^{-i\frac{2\pi}{N}jk} = \frac{1}{\sqrt{N}} \sum_{j=0}^{N-1} f_j e^{-i\frac{2\pi}{N}j \frac{mN}{r}} = \frac{1}{\sqrt{N}} \sum_{j=0}^{N-1} f_j e^{-i2\pi \frac{jm}{r}}.$$

Siguiendo los pasos de 1.b, es fácil ver que la exponencial con su argumento así definido resulta periódica en  $r$ , con lo que considerando que  $f_j$  es también de período  $r$ , podemos concluir que todo el sumando es una función periódica de período  $r$ . Por lo tanto, como  $r|N$ , entonces podremos separar la sumatoria en  $N/r$  partes iguales, resultando en

$$F_k = \frac{1}{\sqrt{N}} \sum_{j=0}^{N-1} f_j e^{-i2\pi \frac{jm}{r}} = \frac{1}{\sqrt{N}} \frac{N}{r} \sum_{j=0}^{r-1} f_j e^{-i2\pi \frac{jm}{r}} = \frac{\sqrt{N}}{r} \sum_{j=0}^{r-1} f_j e^{-i2\pi \frac{jm}{r}}.$$

2. Sea  $f_j = \frac{1}{\sqrt{N}} e^{i\frac{2\pi}{N}xj}$ . Su transformada discreta de Fourier resultará en

$$F_k = \frac{1}{\sqrt{N}} \sum_{j=0}^{N-1} \frac{1}{\sqrt{N}} e^{i\frac{2\pi}{N}xj} e^{-i\frac{2\pi}{N}jk} = \frac{1}{N} \sum_{j=0}^{N-1} e^{i\frac{2\pi}{N}(x-k)j}.$$

Suponiendo que  $x \neq k$ , entonces aplicando la fórmula de suma de una serie parcial geométrica,

$$\begin{aligned} F_k &= \frac{1}{N} \frac{1 - e^{i\frac{2\pi}{N}(x-k)N}}{1 - e^{i\frac{2\pi}{N}(x-k)}} = \frac{1}{N} \frac{e^{i\pi(x-k)}}{e^{i\frac{\pi}{N}(x-k)}} \frac{e^{-i\pi(x-k)} - e^{i\pi(x-k)}}{e^{-i\frac{\pi}{N}(x-k)} - e^{i\frac{\pi}{N}(x-k)}} \\ &= \frac{1}{N} e^{i\pi(x-k)(1-1/N)} \frac{\sin[\pi(x-k)]}{\sin[\pi(x-k)/N]}. \end{aligned}$$

Luego, como el argumento de la exponencial remanente en el último término de la igualdad es un número puramente imaginario,

$$|F_k| = \left| \frac{\sin[\pi(x-k)]}{N \sin[\pi(x-k)/N]} \right| = \left| \frac{\text{sinc}[\pi(x-k)]}{\text{sinc}[\pi(x-k)/N]} \right|. \quad (2)$$

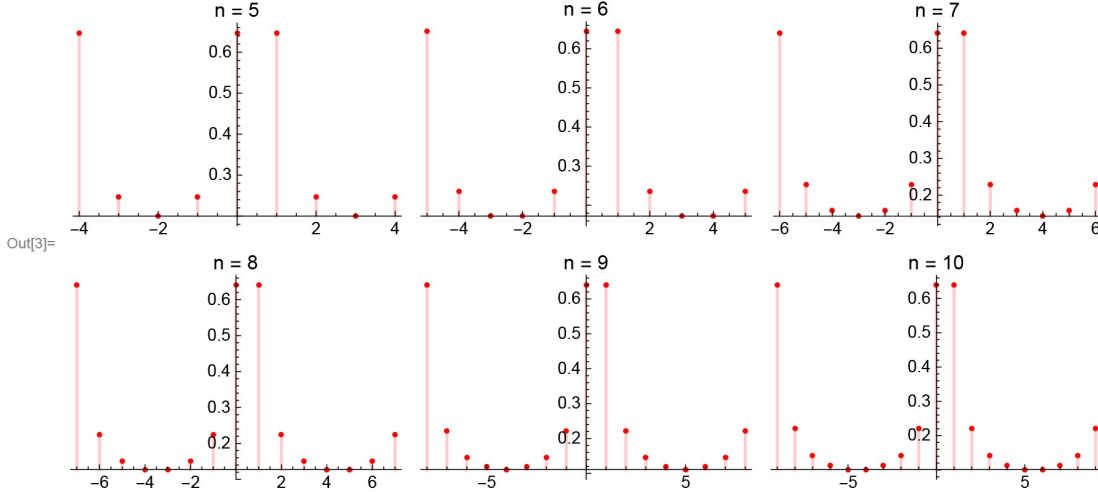
Si  $x \in \mathbb{Z}$ , para  $0 \neq |k-x| < N$ , el denominador de (2) resulta no-nulo, mientras que el argumento de la función seno cardinal del numerador resulta un múltiplo entero de  $\pi$ , por lo que  $F_k = 0$ .

```

In[2]:= F[k_, n_, x_] := Abs[ $\frac{\text{Sinc}[\pi (k - x)]}{\text{Sinc}[\pi \frac{(k-x)}{n}]}$ ];

Grid[ArrayReshape[Table[DiscretePlot[F[k, n, 0.5],
{ k, -(n - 1), n - 1}, PlotLabel -> StringForm["n = `1`", n], PlotStyle -> Red,
PlotMarkers -> Style["•", FontSize -> 12], PlotRange -> Full], {n, 5, 10, 1}], {2, 3}]]

```



```

In[4]:= Grid[{Table[Plot[F[x, 10, t], {x, -9, 9},
PlotRange -> Full, PlotLabel -> StringForm["x = `1`", t]], {t, {0, 0.5}}]}]

```

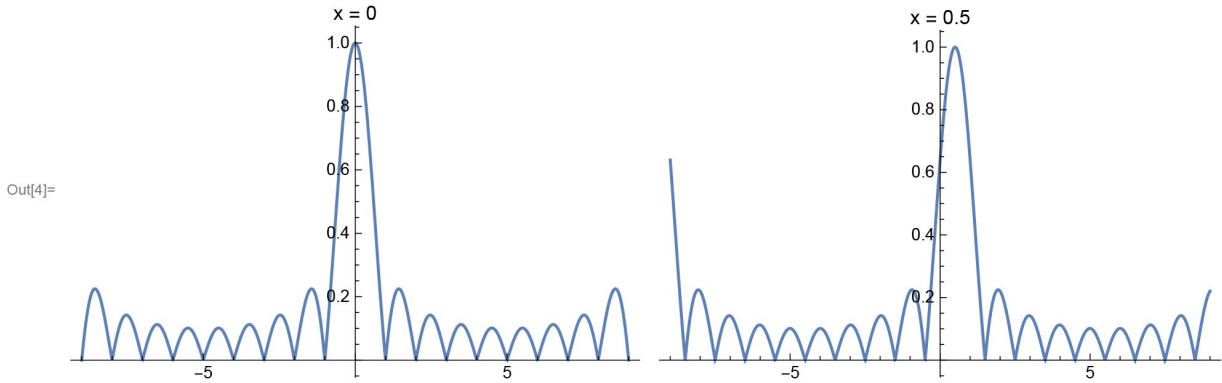


Figura 1

Por el contrario, para  $k = x$ ,  $F_x = 1$ . El caso en que  $k - x = \pm N$ , evaluando la función en el límite (extendiendo  $F_k$  al dominio continuo, como  $F(k)$ ) obtenemos

$$\lim_{k-x \rightarrow N} F_k = 1.$$

Por lo tanto, para  $x \in \mathbb{Z}$ ,  $F_k = \delta_{(k-x) \bmod N=0}$ , reduciéndose para  $|k| < N$  a  $F_k = \delta_{kx}$ .

Si, por el contrario, permitimos  $x \notin \mathbb{Z}$ , entonces  $F_k$  presentará un comportamiento asintótico a  $\delta_{(k-x) \bmod N=0}$  en el límite  $N \rightarrow \infty$ , aunque resultará no nula para  $(k - x) \bmod N \neq 0$ , intersectando las oscilaciones de la función continua  $F(k)$ , como podemos observar en la fig. 1.

Es claro que, como  $F(k)$  posee un máximo en  $k - x \bmod N = 0$  (en el intervalo  $0 < k < N - 1$ ), por lo que  $F_k$  tendrá un máximo en el entero  $k \in \mathbb{Z}$  más próximo a  $x$ .

3. a) Sea  $\{|j\rangle, j = 0, \dots, N-1\}$  una base ortonormal de un espacio  $V$ . Definimos la Transformada

de Fourier cuántica de  $|k\rangle$  como la operación  $\hat{U}$ :

$$|\tilde{k}\rangle = \hat{U} |k\rangle = \frac{1}{N} \sum_{j=0}^{N-1} e^{i\frac{2\pi}{N}kj} |j\rangle, \quad k = 0, 1, \dots, N-1.$$

Es fácil ver que los estados  $\{|\tilde{k}\rangle\}$  forman también una base ortonormal, escribiendo

$$\begin{aligned} \langle \tilde{k} | \tilde{k}' \rangle &= \langle k' | \hat{U}^\dagger \hat{U} | k \rangle = \frac{1}{N} \sum_{j,j'=0}^{N-1} e^{i\frac{2\pi}{N}(kj - k'j')} \langle j' | j \rangle = \frac{1}{N} \sum_{j,j'=0}^{N-1} e^{i\frac{2\pi}{N}j(k-k')} = \delta_{kk'}, \\ &\implies \hat{U}^\dagger \hat{U} = \mathbb{1}. \end{aligned}$$

Por un tratamiento análogo con las transformadas de Fourier cuánticas inversas se puede probar también que  $\hat{U}\hat{U}^\dagger = \mathbb{1}$ , quedando demostrado que la operación  $\hat{U}$  es unitaria.

- b) Sea un estado  $|\psi\rangle = \sum_{j=0}^{N-1} c_j |j\rangle$ . Al ser  $\{|\tilde{k}\rangle\}$  también una base ortonormal de  $V$ , podremos describir a  $|\psi\rangle$  también en términos de  $|\tilde{k}\rangle$  como  $\psi = \sum_{k=0}^{N-1} C_k |\tilde{k}\rangle$ . La relación entre  $c_j$  y  $C_k$  puede ser determinada a partir de las condiciones de ortonormalidad de las bases, como

$$\begin{aligned} \langle \tilde{k} | \psi \rangle &= \sum_{k'=0}^{N-1} C_{k'} \langle \tilde{k} | \tilde{k}' \rangle = C_k = \sum_{j=0}^{N-1} c_j \left( \frac{1}{\sqrt{N}} \sum_{j'=0}^{N-1} e^{-i\frac{2\pi}{N}j'k} \langle j' | \right) |j\rangle = \frac{1}{\sqrt{N}} \sum_{j=0}^{N-1} c_j e^{-i\frac{2\pi}{N}jk} \\ \therefore C_k &= \frac{1}{\sqrt{N}} \sum_{j=0}^{N-1} c_j e^{-i\frac{2\pi}{N}jk}. \end{aligned}$$

- c) Sean  $\hat{X}$ ,  $\hat{P}$ , y  $\hat{T}$  operadores definidos por  $\hat{X} |j\rangle = j |j\rangle$ ,  $\hat{P} = \hat{U} \hat{X} \hat{U}^\dagger$ , y  $\hat{T} = e^{-i\frac{2\pi}{N}\hat{P}}$ . Entonces,

$$\hat{P} |\tilde{k}\rangle = \hat{U} \hat{X} \hat{U}^\dagger |\tilde{k}\rangle = \hat{U} \hat{X} \underbrace{\hat{U}^\dagger \hat{U}}_{=\mathbb{1}} |k\rangle = \hat{U} \hat{X} |k\rangle = k \hat{U} |k\rangle = k |\tilde{k}\rangle,$$

$$\hat{T} |\tilde{k}\rangle = \sum_{n=0}^{\infty} \frac{(-i\frac{2\pi}{N})^n}{n!} \hat{P}^n |\tilde{k}\rangle = \sum_{n=0}^{\infty} \frac{(-i\frac{2\pi}{N})^n}{n!} k^n |\tilde{k}\rangle = e^{-i\frac{2\pi}{N}k} |\tilde{k}\rangle,$$

y

$$\begin{aligned} \hat{T} |j\rangle &= \hat{T} \left( \frac{1}{\sqrt{N}} \sum_{k=0}^{N-1} e^{-i\frac{2\pi}{N}jk} |\tilde{k}\rangle \right) = \frac{1}{\sqrt{N}} \sum_{k=0}^{N-1} e^{-i\frac{2\pi}{N}jk} e^{-i\frac{2\pi}{N}k} |\tilde{k}\rangle = \frac{1}{\sqrt{N}} \sum_{k=0}^{N-1} e^{-i\frac{2\pi}{N}(j+1)k} |\tilde{k}\rangle \\ &= |j+1\rangle. \end{aligned}$$

4. Sea  $|\tilde{k}\rangle$  el estado transformado en Fourier de  $|j\rangle$ . En un sistema de  $n$  qubits,  $N = 2^n$ , pudiendo describir a los estados  $|j\rangle$  en términos de su descomposición en dígitos binaria como

$$j = j_1 2^{n-1} + j_2 2^{n-2} + \dots + j_n 2^0 = \sum_{l=1}^n j_l 2^{n-l}.$$

Luego,

$$\begin{aligned} |\tilde{k}\rangle &= \frac{1}{2^{n/2}} \sum_{j=0}^{2^n-1} e^{i\frac{2\pi}{2^n}kj} |j\rangle \\ &= \frac{1}{2^{n/2}} \sum_{j=0}^{2^n-1} e^{i\frac{2\pi}{2^n}k \sum_{l=1}^n j_l 2^{n-l}} |j\rangle \end{aligned}$$

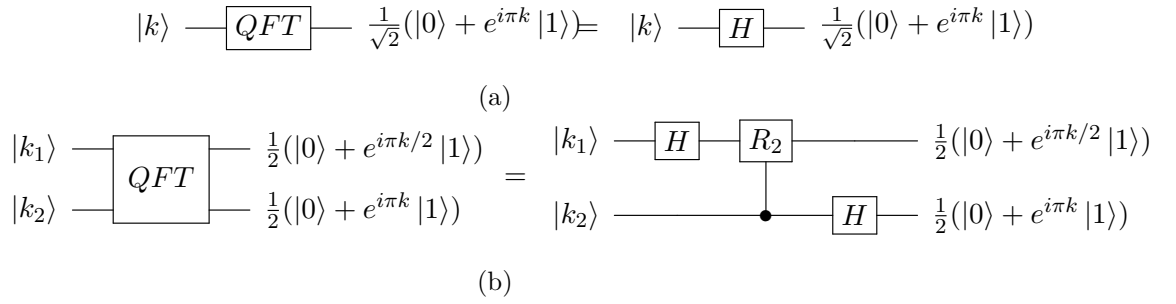


Figura 2: Circuitos del algoritmo de Transformada de Fourier Cuántica para un estado de (a) 1 qubit y (b) 2 qubits.

$$\begin{aligned} &= \frac{1}{2^{n/2}} \sum_{j_1=0}^1 \cdots \sum_{j_n=0}^1 e^{i2\pi k \sum_{l=1}^n j_l 2^{-l}} |j_1 j_2 \dots j_n\rangle \\ &= \frac{1}{2^{n/2}} \sum_{j_1=0}^1 \cdots \sum_{j_n=0}^1 \bigotimes_{l=1}^n e^{i2\pi k j_l 2^{-l}} |j_l\rangle \\ &= \frac{1}{2^{n/2}} \bigotimes_{l=1}^n \left[ \sum_{j_l=0}^1 e^{i2\pi k j_l 2^{-l}} |j_l\rangle \right] \\ &= \frac{1}{2^{n/2}} \bigotimes_{l=1}^n \left[ |0\rangle + e^{i2\pi k/2^l} |1\rangle \right]. \end{aligned}$$

Para un sistema de 1 qubit, esta resulta en

$$|\tilde{k}\rangle = \frac{1}{\sqrt{2}} \left[ |0\rangle + e^{i\pi k} |1\rangle \right] = \frac{1}{\sqrt{2}} \left[ |0\rangle + (-1)^k |1\rangle \right],$$

siendo equivalente a la acción de una compuerta Haddamard

$$H = \frac{1}{\sqrt{2}} \begin{pmatrix} 1 & 1 \\ 1 & -1 \end{pmatrix}$$

sobre el qubit original, representado por el circuito en la figura 2a.

Para un sistema de 2 qubits, la transformada de Fourier será

$$\begin{aligned} |\tilde{k}\rangle &= \frac{1}{2} \left[ |0\rangle + e^{i\pi k} |1\rangle \right] \otimes \left[ |0\rangle + e^{i\pi k/2} |1\rangle \right] \\ &= \frac{1}{2} \left[ |0\rangle + (-1)^k |1\rangle \right] \otimes \left[ |0\rangle + e^{i\pi k/2} |1\rangle \right], \end{aligned}$$

siendo representado por el circuito cuántico de la fig. 2b, donde la operación sobre el segundo qubit consiste en la composición de una compuerta Haddamard, y una rotación  $R_2$  dada por

$$R_2 = \begin{pmatrix} 1 & 0 \\ 0 & e^{i\pi/2} \end{pmatrix} = \begin{pmatrix} 1 & 0 \\ 0 & i \end{pmatrix}.$$

5. a) En general, los algoritmos cuánticos basados en la transformada de Fourier se componen del siguiente esquema:

$$\begin{aligned} |0\rangle |0\rangle &\xrightarrow{\hat{H}^{\otimes 2^t}} \frac{1}{2^{n/2}} \sum_{j=0}^{2^n-1} |j\rangle |0\rangle \\ &\xrightarrow{\hat{U}} \frac{1}{2^{n/2}} \sum_{j=0}^{2^n-1} |j\rangle |f(j)\rangle \end{aligned}$$

$$\xrightarrow{FT^{-1}} \frac{1}{2^n} \sum_{k=0}^{2^n-1} |k\rangle \sum_{j=0}^{2^n-1} e^{-i\frac{2\pi}{2^n}kj} |f(j)\rangle,$$

donde  $\hat{U}$  es una operación sobre el último qubit (o conjunto de qubits, tal que contengan la información del sistema), controlada sobre el primer conjunto de  $n$ -qubits, y  $FT^{-1}$  representa a la transformada de Fourier inversa.

- b) En el caso de estimación de fase, el estado transformado del segundo conjunto de qubits se encuentra descrito por  $|f(j)\rangle = e^{i\frac{2\pi}{2^n}xj} |\Phi\rangle$ , con  $0 \leq x \leq 2^n$ . Si  $x = m \in \mathbb{Z}$ , con  $0 \leq m \leq N-1$ , entonces el estado final del algoritmo de estimación de fase resultará en

$$\begin{aligned} \frac{1}{2^n} \sum_{k=0}^{2^n-1} |k\rangle \sum_{j=0}^{2^n-1} e^{-i\frac{2\pi}{2^n}kj} |f(j)\rangle &= \frac{1}{2^n} \sum_{k=0}^{2^n-1} |k\rangle \sum_{j=0}^{2^n-1} e^{-i\frac{2\pi}{2^n}kj} e^{i\frac{2\pi}{2^n}mj} |\Phi\rangle \\ &= \frac{1}{2^n} \sum_{k=0}^{2^n-1} |k\rangle \sum_{j=0}^{2^n-1} e^{-i\frac{2\pi}{2^n}(k-m)j} |\Phi\rangle \\ &= \frac{1}{2^n} \sum_{k=0}^{2^n-1} |k\rangle 2^n \delta_{km} |\Phi\rangle \\ &= |m\rangle |\Phi\rangle. \end{aligned}$$

Si  $x \notin \mathbb{Z}$ , entonces, como fue demostrado en el ejercicio 2, el estado final presentará oscilaciones, aunque con un máximo en módulo en el entero más próximo a  $x$ .

- c) En el algoritmo de determinación del período, donde la función  $f(j)$  es periódica de período  $r$  ( $f(j) = f(j+r) \forall j$ ), podemos ver que, a partir del estado inicial  $|0\rangle |0\rangle$ ,

$$\begin{aligned} |0\rangle |0\rangle &\xrightarrow{} \frac{1}{\sqrt{N}} \sum_{x=0}^{N-1} |x\rangle |f(x)\rangle \\ &\xrightarrow{FT} \frac{1}{\sqrt{N}} \sum_{x=0}^{N-1} \frac{1}{\sqrt{r}} \sum_{k=0}^{r-1} e^{i\frac{2\pi}{r}kx} |x\rangle |f(k)\rangle = \frac{1}{\sqrt{r}} \sum_{k=0}^{r-1} \left( \frac{1}{\sqrt{N}} \sum_{x=0}^{N-1} e^{i\frac{2\pi}{N}\frac{kN}{r}x} |x\rangle \right) |f(k)\rangle \\ &\xrightarrow{FT^{-1}} \frac{1}{\sqrt{r}} \sum_{k=0}^{r-1} \left| k \frac{N}{r} \right\rangle |f(k)\rangle = \frac{1}{\sqrt{r}} \sum_u |u\rangle \left| f\left(u \frac{r}{N}\right) \right\rangle \end{aligned}$$

para  $N = 2^n$ , donde se han utilizado los resultados del ej. 1. En particular, por el corolario demostrado en 1.c,  $k = mN/r$ , con  $m \in \mathbb{Z}$ , verificando que solo aparecerán en el primer conjunto de qubits del estado final los estados con  $u$  múltiplo de  $N/r$  ( $u = kN/r$ ).

6. Sea  $\hat{A}$  un operador representado por la matriz  $A$  de  $N \times N$ , con elementos  $A_{ij} = f(j-i)$ , siendo  $f(j+N) = f(j)$ ,  $\forall j$ . Luego,

$$\begin{aligned} \hat{A} |\tilde{k}\rangle &= \sum_{j=0}^{N-1} |j\rangle \langle j | \hat{A} | \tilde{k} \rangle = \frac{1}{\sqrt{N}} \sum_{j=0}^{N-1} \sum_{m=0}^{N-1} e^{i\frac{2\pi}{N}mk} |j\rangle \langle j | \hat{A} | m \rangle \\ &= \frac{1}{\sqrt{N}} \sum_{j=0}^{N-1} \sum_{m=0}^{N-1} e^{i\frac{2\pi}{N}mk} |j\rangle f(m-j) \\ &= \frac{1}{\sqrt{N}} \sum_{j=0}^{N-1} \sum_{m=0}^{N-1} e^{i\frac{2\pi}{N}(m-j)k} e^{i\frac{2\pi}{N}jk} |j\rangle f(m-j) \\ &= \frac{1}{\sqrt{N}} \sum_{j=0}^{N-1} \sum_{l=0}^{N-1} e^{i\frac{2\pi}{N}lk} f(l) e^{i\frac{2\pi}{N}jk} |j\rangle \end{aligned}$$

$$\begin{aligned}
&= \sum_{l=0}^{N-1} e^{i\frac{2\pi}{N}lk} f(l) \left| \tilde{k} \right\rangle \\
&= F(k) \left| \tilde{k} \right\rangle,
\end{aligned}$$

siendo

$$F(k) = \sum_{l=0}^{N-1} e^{i\frac{2\pi}{N}lk} f(l)$$

el autovalor asociado al autovector  $\left| \tilde{k} \right\rangle$  de la matriz  $A$ .